

УДК 69.059.032

**КОНСТРУИРОВАНИЕ И РАСЧЕТ ДОЛГОВЕЧНОЙ  
ПОДКРАНОВОЙ КОНСТРУКЦИИ ЭЛЛИПТИЧЕСКОГО ПРОФИЛЯ**

***Нежданов Кирилл Константинович,***

*Пензенский государственный университет архитектуры и строительства,  
г. Пенза,*

*доктор технических наук, профессор кафедры «Строительные конструкции».*

***Гарькин Игорь Николаевич,***

*Пензенский государственный университет архитектуры и строительства,  
г. Пенза,*

*доцент кафедры «Управление качеством и технология строительного  
производства»,*

**Аннотация**

На основе расчетов доказываются преимущества использования подкрановых конструкций эллиптического профиля. Дается пример расчета подкрановой балки эллиптического профиля.

**Ключевые слова:** подкрановые конструкции, эллиптический профиль, строительные конструкции, выносливость, долговечность, технический ресурс.

**DESIGN AND CALCULATION OF A LONG-TERM CRANE DESIGN OF  
THE ELLIPTIC PROFILE**

***Nezhdanov Kirill Konstantinovich,***

*Penza State University of Architecture and Construction, Penza,*

*Doctor of Sciences, Professor of the Department "Building constructions".*

***Garkin Igor Nikolaevich,***

*Penza State University of Architecture and Construction, Penza,*

*Associate Professor of the department "Quality management and construction  
technologies".*

## Abstract

Based on the calculations, the advantages of using crane structures of an elliptical profile are proved. An example of calculating a crane beam of an elliptical profile is given.

**Keywords:** crane structures, elliptical profile, building structures, endurance, durability, technical resource.

Необходимость разработки более выносливых подкрановых конструкций подтверждается как теоретическими [1], так и эмпирическими исследованиями [2,3]. Для решения данной задачи были разработаны ряд профилей с улучшенными (по сравнению со стандартными) характеристиками. Рассмотрим вариант долговечной подкрановой балки эллиптического профиля.

Долговечную подкрановую балку выполняем с применением двух видов профилей: эллиптического (в нижней части) и прокатного колонного двутавра (в верхней части). Площади сечений профилей примем на основании распределения площадей обычной подкрановой балки. Определяем геометрические характеристики сечения балки (рис.1):

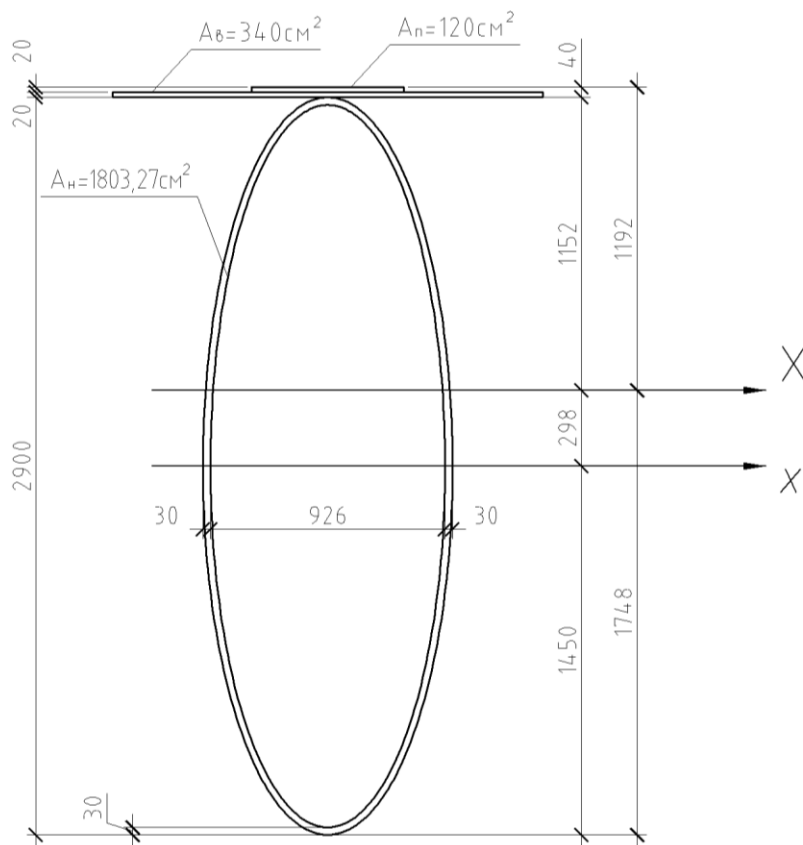


Рисунок 1 - Сечение долговечной подкрановой балки

1. Ордината центра тяжести всего сечения относительно центра тяжести нижнего пояса балки (эллипса):

$$y_c = \frac{\sum S}{\sum A} = \frac{A_в y_в + A_n y_n}{\sum A} = \frac{340 \cdot (1+145) + 120 \cdot (3+145)}{340 + 120 + 1803,27} = 29,78 \text{ см.}$$

2. Момент инерции сечения относительно оси, проходящей через центр тяжести сечения (главная центральная):

$$I_x = I_в + I_n + I_н + A_в y_в^2 + A_n y_n^2 + A_н y_н^2 = \frac{170 \cdot 2^3}{12} + \frac{60 \cdot 2^3}{12} + \frac{3 \cdot 1803,27}{16} \left( 2 \cdot 143,5^2 + \frac{5}{6} \cdot 3^2 \right) + 340 \cdot 116,22^2 + 120 \cdot 118,22^2 + 1803,27 \cdot 29,78^2 = 21796462 \text{ см}^4$$

3. Момент сопротивления нижнего пояса:

$$W_{xн} = \frac{I_x}{d} = \frac{21796462}{174,78} = 124708 \text{ см}^3.$$

4. Напряжения на нижней грани балки:

$$\sigma_n = \frac{M}{W_{xн}} = \frac{27440765}{124708} = 220,04 \text{ МПа} < \gamma R_y = 1 \cdot 230 = 230 \text{ МПа.}$$

5. Момент сопротивления верхнего пояса:

$$W_{xв} = \frac{I_x}{d_1} = \frac{21796462}{119,22} = 182826 \text{ см}^3.$$

6. Напряжения на верхней грани балки:

$$\sigma_n = \frac{M}{W_{xв}} = \frac{27440765}{182826} = 150,09 \text{ МПа} < \gamma R_y = 1 \cdot 230 = 230 \text{ МПа}.$$

Полученное значение используем при проверке балки на кривой изгиб. Тормозная балка предназначена для восприятия изгибающего момента в горизонтальной плоскости  $M$  и должна обладать достаточной прочностью и жесткостью. Одновременно она используется для обслуживания рельсовых путей и кранов. Тормозная балка состоит из верхнего пояса, тормозного листа толщиной 16 мм и внешнего пояса, выполненного из тавра. Расчет выполним в программе, разработанной К.К. Неждановым BALKA (рис.2).

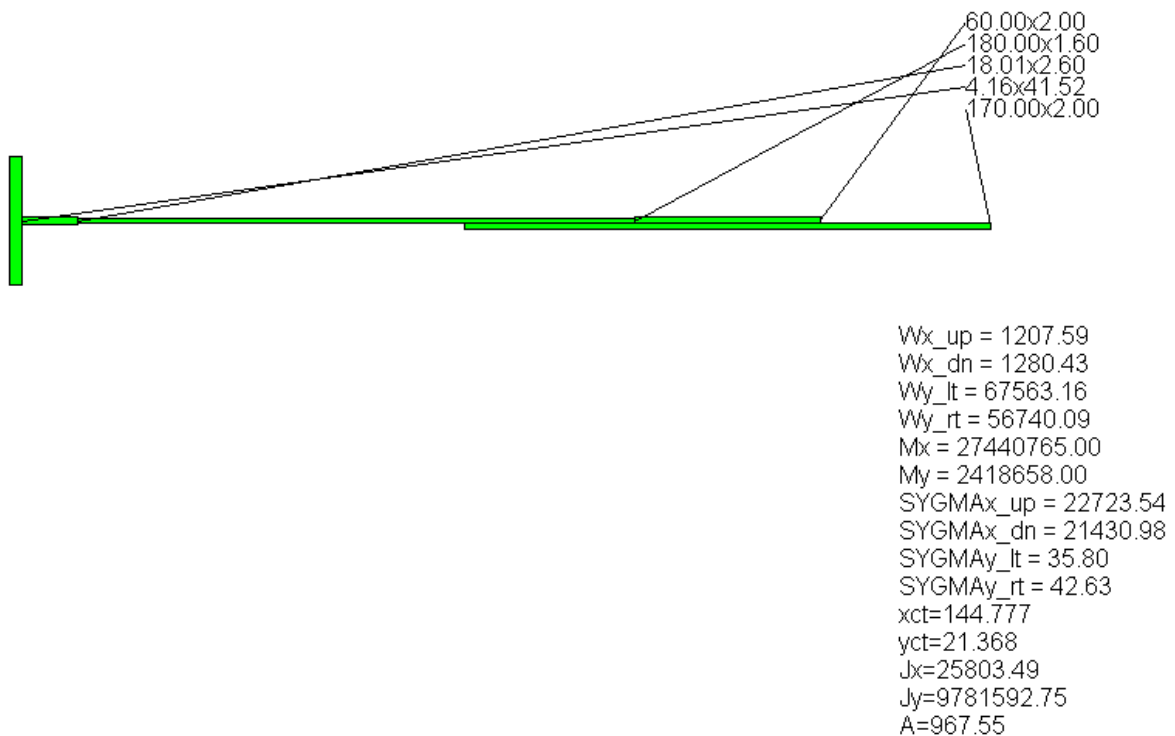


Рисунок 2 – Результаты расчета тормозной балки

$$\sigma_{\sigma} = \sigma_{up} + \sigma_{lt} = 150,09 + 35,80 = 185,9 \text{ МПа} < \gamma R_y = 1 \cdot 230 = 230 \text{ МПа}.$$

Максимальные касательные напряжения определим по формуле:

$$\tau_{\max} = \frac{QS_x^{omc}}{t_{cm}I_x}.$$

Статический момент отсеченной части:

$$S_x^{omc} = \frac{3}{36} (40 \cdot 143,5^2 + 3 \cdot 3^2) + \frac{1803,27}{2} \cdot 29,78 = 95494 \text{ см}^3;$$

$$\tau_{\max} = \frac{6799315 \cdot 95494}{3 \cdot 21796462} = 99,3 \text{ МПа} < 0,9 \cdot 133,4 = 120 \text{ МПа}.$$

Проверка жесткости балки

$$\frac{f_{\max}}{l} = \frac{M^H l}{10EI_x} < \frac{1}{n_0}.$$

Относительный прогиб:

$$\frac{f_{\max}}{l} = \frac{210409,54 \cdot 100 \cdot 1800}{10 \cdot 206000 \cdot 21796462} = \frac{1}{1186} < \frac{1}{600}.$$

Жесткость достаточна. Выполним расчет опорного ребра. С целью повышения выносливости приопорной зоны балки ребро выполним из двутавров, симметричных относительно стенки. По концам к двутаврам приварены фланцы, посредством которых опорные ребра соединяются с верхним поясом и колонной консолью [4,5]. Ниже нейтральной оси балки уголки соединяются между собой фрикционными болтами. Определяем требуемую площадь опорного ребра из условия его устойчивости.

$$A_p = \frac{Q}{\varphi R_y} = \frac{6799315}{0,9 \cdot 230} = 328,5 \text{ см}^2.$$

Примем два двутавра 35К2.

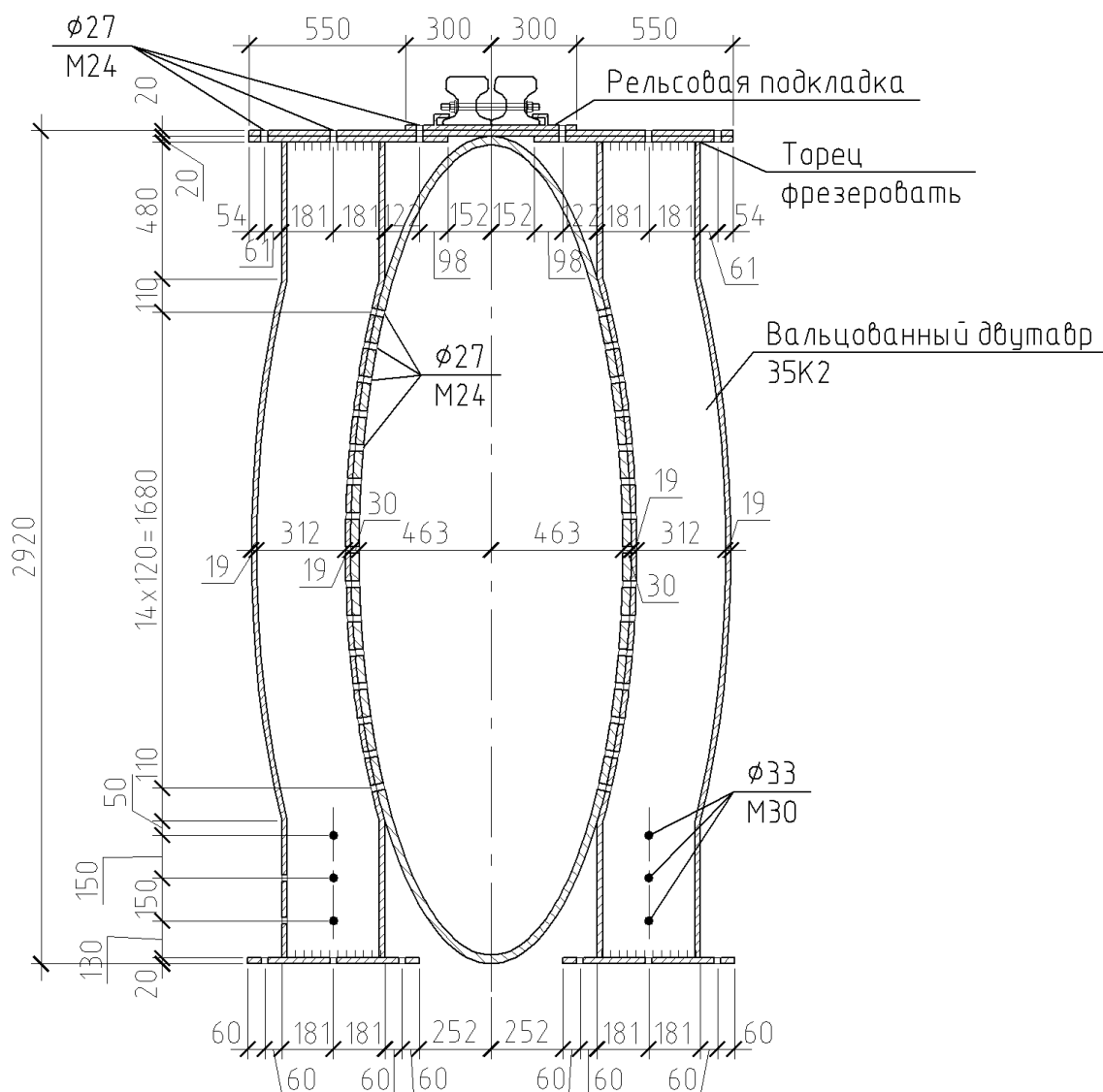


Рисунок 3 - Опорное сечение балки

Гибкость  $\lambda_y = \frac{h}{i_y} = \frac{290}{68,51} = 4,23.$

Коэффициент продольного изгиба  $\varphi = 0,995.$

Проверка устойчивости опорного ребра производится по формуле:

$$\sigma = \frac{Q}{A_p} = \frac{6799315}{2 \cdot 173,87} = 196 \text{ МПа} < 0,995 \cdot 230 = 229 \text{ МПа}.$$

Устойчивость обеспечена. Определение числа фрикционных шпилек, необходимых для крепления опорного ребра со стенкой. Примем фрикционные шпильки М24.

$$Q_{bh} = R_{bh} \gamma_b A_{bn} \mu / \gamma_h = 945 \cdot 0,9 \cdot 3,52 \cdot 0,42 / 1,12 = 1122,66 \text{ гН}.$$

Несущая способность одной шпильки (одна поверхность трения)  $F_{un} = Q_{bh} = 1122,66 \text{ кН}$ .

Количество шпилек для одного ребра:

$$n = \frac{Q/2}{Q_{bh}} = \frac{6799,315/2}{1122,66} = 30.$$

Примем шаг  $a = 120 \text{ см}$ , в ряду 15 шпилек.

Разработанная подкрановая конструкция имеет улучшенные (более чем на 30%) характеристики, за счет замкнутого (эллиптического) контура. Порядок расчёта применяет при чтении курса «Специальный курс по металлическим конструкциям».

### **Библиографический список:**

1. Нежданов, К.К. Совершенствование подкрановых конструкций и методов их расчёта [Текст]: дисс. д-ра техн. наук. Пенза. 1992. С 349.
2. Гарькин И. Н. Подкрановые конструкции на предприятиях Пензенской области: состояние, перспективы // Инженерно - строительный вестник Прикаспия. 2017. № 3 (21). С. 20–24.
3. Сабуров В.Ф. Использование моделей упругого основания для анализа распределения локальных напряжений в стенке стальных составных балок // Вестник Южно-Уральского государственного университета. Серия: Строительство и архитектура. 2014. № 4. Т. 14. С. 15-20.
4. Гарькин И.Н. Подкрановые конструкции: классификация по долговечности [Электронный ресурс] // Моделирование и механика конструкций. 2018. №7. Систем. требования: Adobe Acrobat Reader. URL: [http://mechanicspguas.ru/Plone/nomera-zhurnala/no7/stroitelnye-konstrukcii-zdaniya-i-sooruzheniya/7.18/at\\_download/file](http://mechanicspguas.ru/Plone/nomera-zhurnala/no7/stroitelnye-konstrukcii-zdaniya-i-sooruzheniya/7.18/at_download/file)
5. Туманов В.А. Повышение выносливости стальных подкрановых балок // Региональная архитектура и строительство. 2012. № 1. С. 75-82.